

Базовые характеристики

- иммунитет к отсутствию питания по входам и выходам;
- низкое значение тока потребления – $I_{CC} < 2 \text{ мА}$ при V_{CC} до 5,5 В и $T = 25^\circ\text{C}$;
- широкий диапазон напряжений питания от 3,0 В до 5,5 В;
- устойчивость к статическому электричеству до уровней 2000 В (HBM);
- диапазон рабочих температур от -60°C до $+125^\circ\text{C}$;
- полностью соответствует функциональному аналогу микросхем 74AC1G125, 74ACT1G125.

Информация для заказа

Таблица 1

| Маркировка | Технические условия | Корпусное исполнение | Вид приёмки |
|---|---------------------|----------------------|-------------|
| K5570TH015-A125(AT125)/ An74A(AT)1G125T2 | | SOP-8 | OTK |
| K5570TH015-A125(AT125)/ An74A(AT)1G125H4 | | бескорпусная | OTK |

Функциональное описание

Выполняют функцию схемы – буферный элемент с 3 состояниями на выходе.

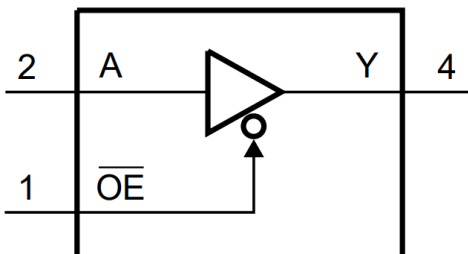


рисунок 1 – Схема функциональная

Конфигурация выводов

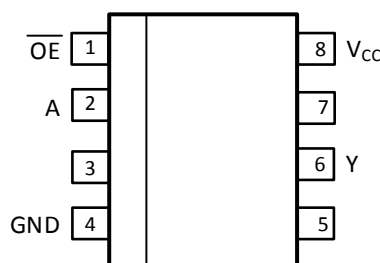


рисунок 2
SOP-8

Описание выводов

Таблица 2

| Обозначение вывода | Используемые состояния | | Функциональное назначение вывода |
|--------------------|------------------------|-------|--|
| | Вход | Выход | |
| OE | HL | | Вход управления буферным элементом (по низкому уровню) |
| A | HLX | | Вход буферного элемента |
| Y | HLZ | | Выход буферного элемента |
| GND | | | Общий |
| V _{CC} | | | Напряжение питания |

Таблица истинности¹⁾

Таблица 3

| Входы | | Выход |
|-------|---|-------|
| OE | A | Y |
| L | L | L |
| L | H | H |
| H | X | Z |

¹⁾ H-высокий уровень;
L-низкий уровень;
X-безразличное состояние;
Z-высокоимпедансное состояние.

Предельно-допустимые и предельные режимы эксплуатации

Таблица 4

| Наименование параметра режима, единица измерения | Буквенное обозначение параметра | Предельно-допустимый режим | | Предельный режим | | Примечания |
|--|---------------------------------|---|---|------------------|------------|------------|
| | | не менее | не более | не менее | не более | |
| Напряжение питания, В | U_{CC} | 2,0 4,5 ¹⁾ | 5,5 | -0,5 | 8 | - |
| Напряжение, В: - на выводах вход; - на выводе V_{CC} | U | -0,3 0 | 7,0 5,5 | -0,5 -0,5 | 8 8 | - |
| Напряжение на выводах вход/выход и выход в состоянии «Выключено», В | $U_{I/OZ}$ U_{OZ} | -0,3 | 7,0 | -0,5 | 8 | - |
| Входное напряжение низкого уровня, В | U_{IL} | -0,3 | $0,3 \cdot U_{CC}$ 0,8 ¹⁾ | - | - | 1 |
| Входное напряжение высокого уровня, В | U_{IH} | $0,7 \cdot U_{CC}$ 2,0 ¹⁾ | 7,0 | - | - | 1 |
| Постоянный входной ток на вывод, мА | I_I | - | - | - | 20 | - |
| Постоянный выходной ток на вывод, мА | I_O | - | 24 для норм U_{OL} и U_{OH} | - | 40 | - |
| Постоянный ток по выводам U_{CC} и GND, мА | I_{tot} | - | 72 | - | 100 | - |
| Рассеиваемая мощность в нормальных климатических условиях, мВт | P_{tot} | - | 150 | - | 200 | - |
| Длительность нарастания и спада входных сигналов, нс, при $U_{CC} \geq 4,5$ В; $U_{CC} < 4,5$ В; | t_{LH} t_{HL} | - - | 3 6 | - | 150 150 | - |
| Ёмкость нагрузки на каждом выходе, пФ | C_L | - | 50 | - | 500 | 2 |

¹⁾ Для микросхем подгруппы An74AT

П р и м е ч а н и я

1 С учётом всех видов помех. Для схем с триггером Шмитта и входов компараторов уровней сигналов конкретные значения входных напряжений низкого U_{IL} и высокого U_{IH} уровня приводят в спецификации.

2 С учётом предельно-допустимой и предельной мощности рассеивания.

Электрические параметры при приемке и поставке

Таблица 5

| Наименование параметра, единица измерения, режим измерения | Буквенное обозначение параметра | Норма параметра ¹⁾ | | Температура среды, °C | Причины |
|---|--|-------------------------------|--------------|-----------------------|---------|
| | | не менее | не более | | |
| Выходное напряжение низкого уровня, В, при $U_{CC} = (3,0 \pm 0,03)$ В и $I_{OL} \leq 12$ мА, при $U_{CC} = (4,5 \pm 0,05)$ В и $I_{OL} \leq 24$ мА, при $U_{CC} = (3,0 \pm 0,03)$ В и $I_{OL} \leq 50$ мкА, при $U_{CC} = (3,0 \pm 0,03)$ В и $I_{OL} \leq 12$ мА, при $U_{CC} = (4,5 \pm 0,05)$ В и $I_{OL} \leq 24$ мА, при $U_{CC} = (3,0 \pm 0,03)$ В и $I_{OL} \leq 50$ мкА. | U_{OL} | - | 0,35 | 25±10 | |
| | | - | 0,40 | | |
| | | - | 0,1 | | |
| | | - | 0,40 | | |
| | | - | 0,45 | минус 60 | |
| | | - | 0,1 | 125 | |
| Выходное напряжение высокого уровня, В, при $U_{CC} = (3,0 \pm 0,03)$ В и $I_{OH} \leq 12$ мА, при $U_{CC} = (4,5 \pm 0,05)$ В и $I_{OH} \leq 24$ мА, при $U_{CC} = (3,0 \pm 0,03)$ В и $I_{OH} \leq 50$ мкА, при $U_{CC} = (3,0 \pm 0,03)$ В и $I_{OH} \leq 12$ мА, при $U_{CC} = (4,5 \pm 0,05)$ В и $I_{OH} \leq 24$ мА, при $U_{CC} = (3,0 \pm 0,03)$ В и $I_{OH} \leq 50$ мкА. | U_{OH} | 2,5 | - | 25±10 | |
| | | 3,8 | - | | |
| | | ($U_{CC} - 0,1$) | - | | |
| | | 2,3 | - | | |
| | | 3,6 | - | минус 60 | |
| | | ($U_{CC} - 0,1$) | - | 125 | |
| Ток потребления, мкА, при $U_{CC} = (5,5 \pm 0,06)$ В, $U_{IH} = U_{CC}$, $U_{IL} = 0$ В (GND) | I_{CC} | - | 1,0 | 25±10 | |
| | | - | 10,0 | минус 60 | |
| Увеличение тока потребления на один вход TTL, мкА ³⁾ при $U_{CC} = (5,5 \pm 0,06)$ В, $U_{IH} \geq 3,4$ В | ΔI_{CC} | - | 300 | 25±10 | |
| | | - | 450 | минус 60 | 1 |
| Ток утечки высокого и низкого уровней на входе, мкА, при $U_{CC} = (5,5 \pm 0,06)$ В, $U_{IH} = U_{CC}$, $U_{IL} = 0$ В (GND) | I_{ILH} I_{ILL} | -0,1 | 0,1 | 25±10 | |
| | | -1,0 | 1,0 | минус 60 | |
| Ток утечки высокого и низкого уровней на входе/выходе или выходе в состоянии «выключено», мкА, при $U_{CC} = (5,5 \pm 0,06)$ В, $U_{OZH} = U_{CC}$, $U_{OZL} = 0$ В (GND) | I_{OZH} I_{OZL} $I_{I/OZH}$ $I_{I/OZL}$ | -0,2 | 0,2 | 25±10 | |
| | | -2,0 | 2,0 | минус 60 | 2 |
| Ток утечки вывода (вход, выход, вход/выход) при превышении напряжения на выводе напряжения питания, мкА, при $U_{CC} = 0$ В (GND), $U_{I/O} \leq 6,0$ В | I_{OFF} | - | 0,3 | 25±10 | |
| | | - | 3,0 | минус 60 | |
| Время задержки, нс ²⁾ при $U_{CC} = (4,5 \pm 0,05)$ В и $C_L \leq 50$ пФ | t_D | - | 10,5 13,0 | 25±10 минус 60 | |
| | | - | | 125 | 3 |
| Входная ёмкость, пФ | C_I | - | 4 | 25±10 | |
| Ёмкость выхода и входа/выхода, пФ | C_O $C_{I/O}$ | - | 6 | 25±10 | |
| Динамическая ёмкость входного буфера А, пФ | CDI | - | 2,0 | 25±10 | |

| | | | | |
|---|-----|---|------|-------|
| Динамическая ёмкость выходного буфера, пФ | CDO | - | 13,0 | 25±10 |
|---|-----|---|------|-------|

¹⁾ Гарантируется запасами норм при цеховом контроле в НУ;

²⁾ С учетом паразитных ёмкостей.

П р и м е ч а н и я

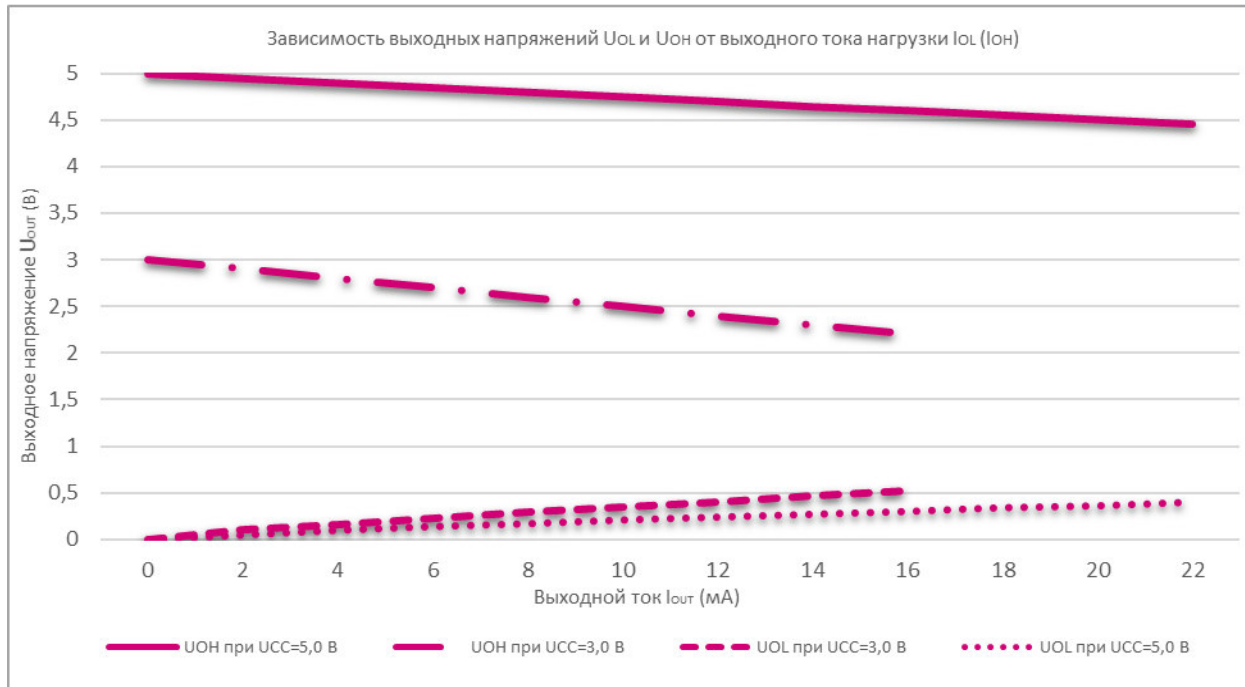
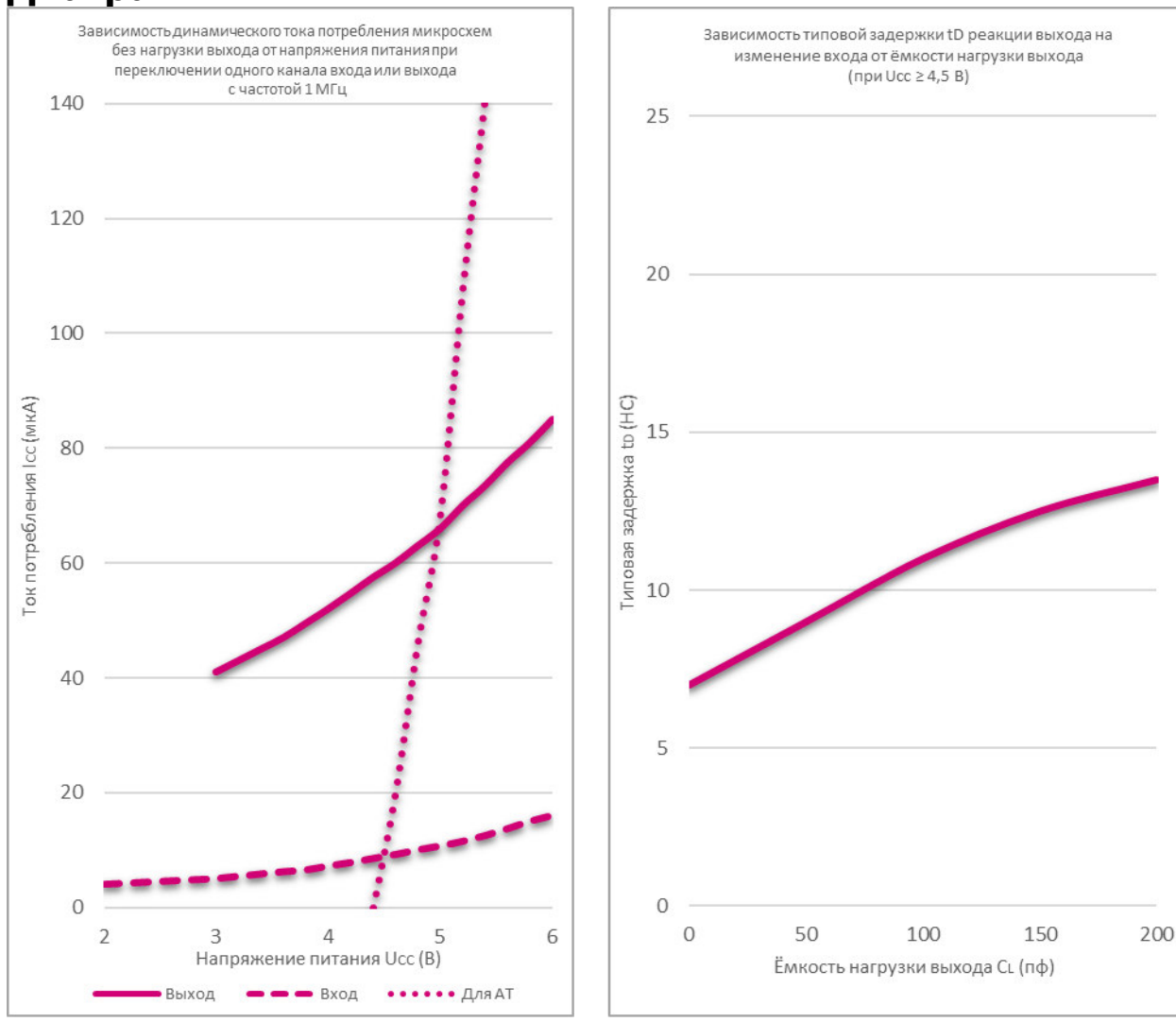
1 Для микросхем подгруппы An74AT;

2 Для выходов (входов/выходов), имеющих состояние «выключено»;

3 Конкретные значения времени задержки приводят в спецификации.

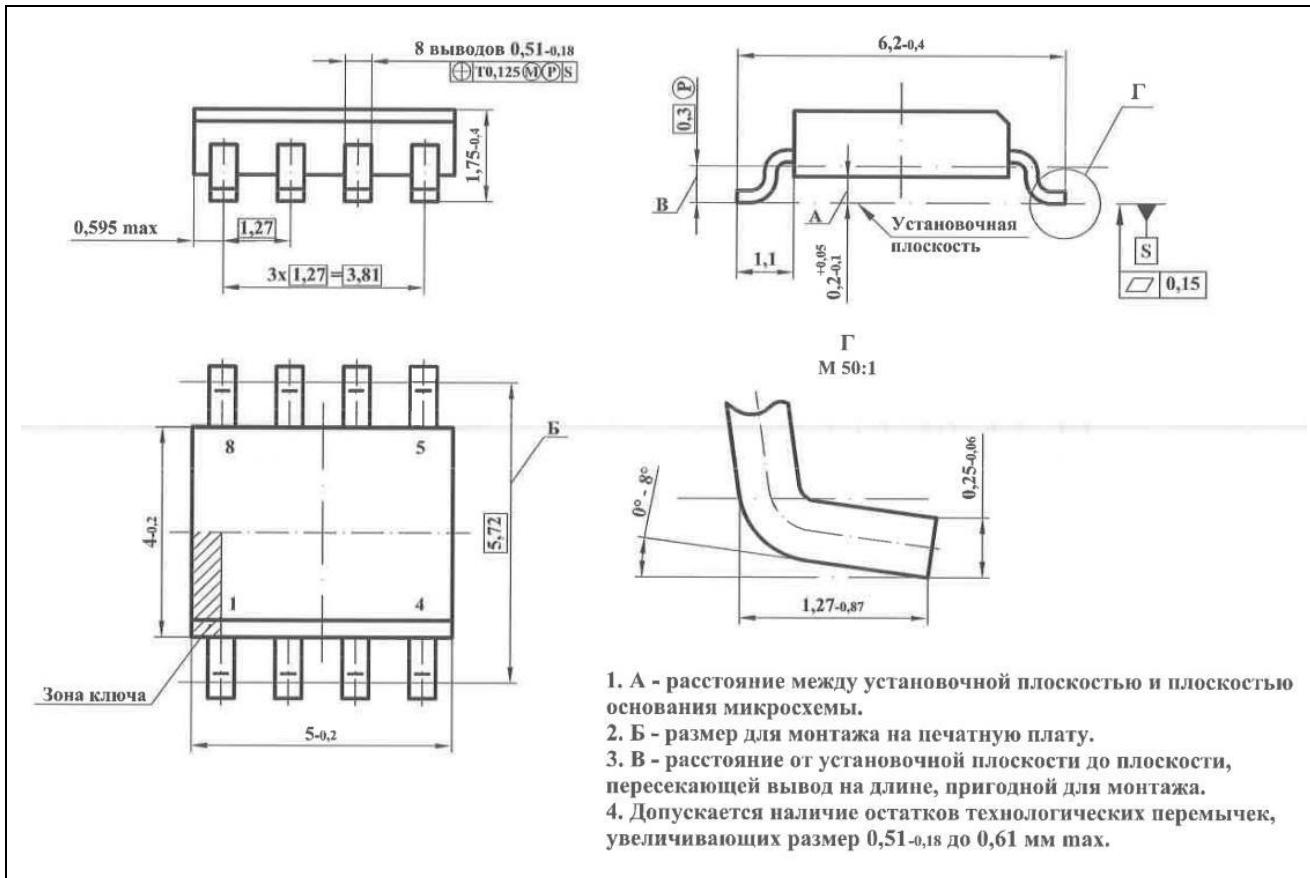
В спецификации могут устанавливаться другие динамические параметры с указанием метода контроля.

Диаграммы

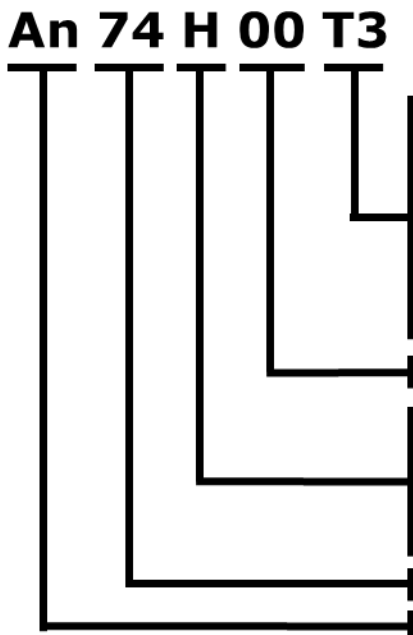


Габаритный чертеж

Корпус SOP-8 (4303 Ю.8-А) (8 выводов), металлопластмассовый



Кодировка микросхем серии An74



Тип корпуса:

T1 – SOT-23-5
 T2 – SOP-8
 T3 – SOP-14 (4306.14-C)
 T4 – SOP-16 (4307.16-B)
 T5 – SOP-20 (4321.20-A)
 T6 – TSSOP-24
 T7 – SSOP-48
 T8 – SSOP-56
 T9 – QFN-24

Общепринятый номер функциональной схемы

Семейство логических КМОП схем:

H – VHC
 HT – VHCT
 A – AVC
 AT – AVCT
 C – LVC/LCX

Серия 74

Признак производителя микросхемы – АО «Ангстрем»

Регистрация изменений

Таблица 6

| Версия листовки | Дата выхода | Примечание | Заменяет |
|------------------------|---------------|------------|----------|
| K5570TH015-A125(AT125) | сентябрь 2024 | | |
| | | | |
| | | | |
| | | | |